

HAYOT DAVOMIDA TA'LIM OLISH: YANGI  
PARADIGMALAR VA KUTILADIGAN NATIJALAR

## FAN, TA'LIM VA AMALIYOT INTEGRATSIYASI

ISSN: 2181-1776

А.Ш.Бегжанов<sup>1</sup>, З.К.Шукуров<sup>2</sup>, Б.Б.Бозоров<sup>3</sup>, У.Б.Ибрагимов<sup>3</sup><sup>1</sup>Урганч давлат университети мустақил изланувчиси,<sup>2</sup>Самарқанд давлат университети Каттақўрғон филиали  
“Ахборот технологиялари” кафедраси мудири<sup>3</sup>Самарқанд давлат университети Каттақўрғон филиали  
“Ахборот технологиялари” кафедраси асисстентлариПУЛЬСИРУЮЩИЕ ТЕЧЕНИЯ ВЯЗКОЙ НЕСЖИМАЕМОЙ  
ЖИДКОСТИ В ТРУБЕ С УПРУГИМИ СТЕНКАМИ**Аннотация**

Как известно, последнее время интенсивно внедрением в практику гибкие трубопроводы, изготовленные из полимерных синтетических материалов, большое значение имеет пульсирующие течения жидкости в упругих трубах. Исходя из этой соображения в этой статье будут исследованы пульсирующие течения вязкой несжимаемой жидкости в упругой трубе. Решением поставленной задачи будет определены необходимые гидродинамические параметры, таких как распределения давления, скорости, расход, скорость распространения пульсовой волны давления и их затухания. Впервые в этой статье будет определено снижение гидравлического сопротивления в пульсирующем потоке по трубам за счет упругости стенки. Исследована зависимость безразмерной величины пульсовой волны давления от колебательного числа  $\alpha$ . Сравнена скорость пульсовой волны со скоростью Моэнса-Кортевега  $C_\infty$ , и выявлены существенные отличия между ними происходит при меньших значениях колебательного параметра Уомерсли, при больших значениях которого существенные различия не наблюдаются. Также исследована зависимость обратной величины затухания, отнесённой к длине волны, от колебательного числа  $\alpha$ , показаны, что затухания волны при меньших значениях колебательного параметра Уомерсли, практически

равняется нулю, а при больших значениях которого асимптотически приближается к единицу.

### 1. Введение

В последнее время интенсивно внедрением в практику гибкие трубопроводы, изготовленные из полимерных синтетических материалов, большое значение имеет [1-3], пульсирующие течения жидкости в упругих трубах. В связи с этим стали актуальными исследования пульсирующих течений вязкой жидкости в трубопроводах с учетом упругой свойств стенки. Также в этой области немаловажное значение имеют пульсирующие течения жидкости в трубах с учетом различные механические свойства стенки [7-17]. Исходя из этой соображения в этой статье будут исследованы пульсирующие течения вязкой жидкости в упругой трубе. Решением задачи будет определены необходимые гидродинамические параметры, таких как распределения давления, скорости, расход, скорость распространения пульсовой волны давления и их затухания. Впервые в этой статье будет определено снижение гидравлического сопротивления в пульсирующем потоке по трубам за счет упругости стенки.

### 2. Постановка задачи и методики решения

Сформулируем упрощенную задачу, имеющую немаловажное значение в исследованиях пульсирующего течения вязкой жидкости в трубах с упругими стенками [4-8]. Для этого считаем, что относительная амплитуда деформации стенки к радиусу слишком мало по сравнению единицы, т.е.  $\frac{\Delta R}{R} \ll 1$ . А также

течение жидкости происходит в длинном трубопроводе, так что  $\varepsilon = \frac{R}{L} \ll 1$ .

Тогда, пренебрегая малыми величинами, из системы уравнений для течения вязкой жидкости имеем

$$\begin{cases} \frac{\partial v_x}{\partial t} = -\frac{1}{\rho} \frac{\partial p}{\partial x} + \nu \left( \frac{\partial^2 v_x}{\partial r^2} + \frac{1}{r} \frac{\partial v_x}{\partial r} \right), \\ \frac{\partial p}{\partial r} = 0, \quad \frac{\partial v_x}{\partial x} + \frac{\partial v_r}{\partial r} + \frac{v_r}{r} = 0. \end{cases} \quad (1)$$

Для деформации стенки трубопровода на основании принятого допущения при малых деформаций стенки достаточно использовать уравнение Лайтфута [3]

$$\rho_\omega h \frac{\partial^2 u_r}{\partial t^2} = (p - p_c) - \frac{E h u_r}{R^2 (1 - \nu_1^2)}, \quad (2)$$

где  $u_r$  – отношение радиальной деформации  $\Delta R$  к радиусу трубы в состоянии покоя;  $p_c$  – давление окружающей среды;  $\rho_\omega$  – плотность стенки трубы;  $h$  –

толщина стенки;  $E$  – модуль упругости;  $R$  – радиус срединной поверхности стенки трубы;  $\nu_1$  – коэффициент Пуассона.

Левая часть уравнения выражает инерцию стенки трубы, однако они пренебрежимо малые величины, поэтому ими пренебрегаем. Тогда (2) имеет вид

$$p - p_c = \frac{Ehu_r}{R^2(1 - \nu_1^2)}. \quad (3)$$

Отметим, что прилипание жидкости и проницаемости стенки трубы определяются граничными условиями для компонент скоростей:

$$v_x = 0, \quad v_r = \frac{\partial u_r}{\partial t} \text{ при } r = R. \quad (4)$$

Если деформация стенки мала, то можно считать, что

$$v_r \Big|_{r=R+u_r} = v_r \Big|_{r=R}. \quad (5)$$

Дифференцируя уравнения (3) по переменной  $t$ , с учетом (5), запишем

$$\frac{\partial \bar{p}}{\partial t} = \frac{Eh g_{r=R}}{R^2(1 - \nu_1^2)} \quad (6)$$

где  $\bar{p} = p - p_c$ .

Производя интегрирование уравнения неразрывности от 0 до  $R$ , найдем

$$\frac{\partial \bar{V}_x}{\partial x} = -\frac{2}{R} g_{r=R}, \quad (7)$$

где  $\bar{V}_x$  – средняя скорость течения.

Тогда связь между давлением и средней скоростью описывается уравнением

$$\frac{\partial \bar{p}}{\partial t} = -\frac{\bar{E}h}{2R} \frac{\partial \bar{V}_x}{\partial x}$$

или

$$\frac{\partial \bar{P}}{\partial t} = -\frac{\bar{E}h}{2R} \frac{\partial \bar{V}_x}{\partial x}, \quad (8)$$

где  $\bar{p} = p - p_c$ ,  $\bar{E} = \frac{E}{1 - \nu_1^2}$ .

Таким образом, упрощенная система уравнений движения вязкой жидкости в трубах с упругими стенками примет окончательный вид:

$$\begin{cases} \frac{\partial V_x}{\partial t} = -\frac{1}{\rho} \frac{\partial p}{\partial x} + \nu \left( \frac{\partial^2 V_x}{\partial r^2} + \frac{1}{r} \frac{\partial V_x}{\partial r} \right), \\ \frac{\partial p}{\partial r} = 0, \quad \frac{\partial V_x}{\partial x} + \frac{\partial V_r}{\partial r} + \frac{V_r}{r} = 0, \\ \frac{\partial \bar{p}}{\partial t} = -\frac{\bar{E}h}{2R} \frac{\partial \bar{V}_x}{\partial x}. \end{cases} \quad (9)$$

Для решения упрощенной задачи при условиях, что в начальном и конечном сечениях трубы давление жидкости задается в комплексном виде, как это делается в предыдущем параграфе, которые соответствуют рассматриваемому случаю, т.е.

$$p = \sum_{n=1}^N p_{n0} \exp(in\omega t) \text{ при } x=0,$$
$$p = \sum_{n=1}^N p_{nL} \exp(in\omega t) \text{ при } x=L. \quad (10)$$

Здесь  $p_{n0}$  и  $p_{nL}$  – амплитуды колебаний;  $\omega$  – круговая частота колебаний;  $n$  – номер гармоники.

Решение системы уравнений (4.31) ищем в виде

$$V_x(x, r, t) = \bar{V}_x(r) e^{in\omega t},$$
$$p_x(x, t) = \bar{p}(x) e^{in\omega t}.$$

Тогда система уравнений принимает следующий вид:

$$\frac{\partial^2 \tilde{V}_x}{\partial r^2} + \frac{1}{r} \frac{\partial \tilde{V}_x}{\partial r} - \frac{in\omega}{\nu} \tilde{V}_x = \frac{1}{\rho\nu} \frac{\partial \tilde{p}}{\partial x}, \quad (11)$$

$$\frac{\partial \tilde{p}}{\partial r} = 0, \quad \frac{\partial \tilde{V}_x}{\partial x} + \frac{\partial \tilde{V}_r}{\partial r} + \frac{\tilde{V}_r}{r} = 0, \quad (12)$$

$$in\omega \frac{1}{a} \bar{p} = -\frac{\partial \bar{V}_x}{\partial x}, \quad (13)$$

где  $a = \frac{\bar{E}h}{2R}$ ,

Решение системы уравнений (11) с учетом граничных условий (10) запишем в виде

$$\bar{V}(x, r) = \frac{1}{\rho(in\omega)} \left( -\frac{\partial \bar{p}}{\partial x} \right) \left( 1 - \frac{I_0\left(\sqrt{\frac{in\omega}{\nu}} r\right)}{I_0\left(\sqrt{\frac{in\omega}{\nu}} R\right)} \right). \quad (14)$$

Умножив обе части формулы (14) на  $\frac{2r}{R^2}$  и проинтегрировав от 0 до  $R$ , получим

$$\bar{V}(x) = \frac{1}{in\omega\rho} \left( -\frac{\partial \bar{p}}{\partial x} \right) \left( 1 - \frac{2J_1(i^{3/2}\alpha_n)}{i^{3/2}\alpha_n J_0(i^{3/2}\alpha_n)} \right). \quad (15)$$

Где  $\alpha_n^2 = \frac{n\omega}{\nu} R^2$

Обозначим

$$z = \left[ \frac{1}{in\omega\rho} \left( 1 - \frac{2J_1(i^{3/2}\alpha_n)}{i^{3/2}\alpha_n J_0(i^{3/2}\alpha_n)} \right) \right]^{-1}. \quad (16)$$

Тогда

$$\frac{\partial \bar{p}}{\partial x} = -z \bar{V}_x(x). \quad (17)$$

Произведя дифференцирование (17) по  $x$  и подставив в место  $\frac{\partial \bar{V}_x(x)}{\partial x}$  его значение из уравнения (13), получаем уравнения для определения давления

$$\frac{\partial^2 \bar{p}}{\partial x^2} - \frac{in\omega}{a} z \bar{p} = 0. \quad (18)$$

Для этого уравнения граничными условиями будут

$$\begin{aligned} \bar{p} &= \sum_{n=1}^N \bar{p}_{n0} \text{ при } x=0, \\ \bar{p} &= \sum_{n=1}^N \bar{p}_{nL} \text{ при } x=L. \end{aligned} \quad (19)$$

Решение уравнения (18) с учетом граничных условий (19) имеет следующий вид:

$$\bar{p}(x) = \sum_{n=1}^N \left[ \bar{p}_{n0} \frac{sh\sqrt{\frac{in\omega}{a}} zL \left(1 - \frac{x}{L}\right)}{sh\sqrt{\frac{in\omega}{a}} zL} + \bar{p}_{nL} \frac{sh\sqrt{\frac{in\omega}{a}} zL \frac{x}{L}}{sh\sqrt{\frac{in\omega}{a}} L} \right], \quad (20)$$

$$\bar{V}_x(x) = \sum_{n=1}^N \left[ p_{n0} \frac{ch\sqrt{\frac{in\omega}{a}} zL \left(1 - \frac{x}{L}\right)}{sh\sqrt{\frac{in\omega}{a}} zL} - \bar{p}_{nL} \frac{sh\sqrt{\frac{in\omega}{a}} zL \frac{x}{L}}{sh\sqrt{\frac{in\omega}{a}} zL} \right] \sqrt{\frac{in\omega}{a} z}. \quad (21)$$

### 3. Анализ полученных результатов и их обсуждения

Из полученных формул (20) и (21), видно, что скорость и давление существенно зависят от комплексного параметра  $\sqrt{\frac{in\omega}{a}} zL$ . Поэтому комплексный параметр обозначим через  $\bar{\chi} + \bar{\beta}i$ , т.е.

$$\sqrt{\frac{in\omega}{a}} zL = \bar{\chi} + \bar{\beta}i. \quad (22)$$

Для простоты задачи примем  $n=1$ . Тогда

$$\sqrt{\frac{i\omega}{a}} zL = \bar{\chi} + \bar{\beta}i. \quad (23)$$

Здесь  $a = \frac{\bar{E}h}{2R}$ ,  $\bar{E} = \frac{E}{(1+\nu_1^2)}$ ,  $\alpha = \sqrt{\frac{\omega}{\nu}}R$

$$z = \left[ \frac{1}{i\omega\rho} \left( 1 - \frac{2J_1(i^{3/2}\alpha)}{i^{3/2}\alpha J_0(i^{3/2}\alpha)} \right) \right]^{-1}.$$

Выделяя действительную и мнимую части выражения (23), получим

$$\bar{\chi} = \pm \omega \sqrt{\frac{\rho}{a}} L^4 \sqrt{M_2^2 + N_2^2} \sin \frac{\varphi}{2},$$

$$\bar{\beta} = \pm \omega \sqrt{\frac{\rho}{a}} L^4 \sqrt{M_2^2 + N_2^2} \cos \frac{\varphi}{2},$$

где  $\varphi = \text{arctg} \frac{N_2}{M_2}$ .

Здесь  $J_0(i^{3/2}\alpha) = \text{ber}_0\alpha + i\text{bei}_0\alpha$ ,  $J_1(i^{3/2}\alpha) = \text{ber}_1\alpha + i\text{bei}_1\alpha$ ,

$$\frac{J_1(i^{3/2}\alpha)}{J_0(i^{3/2}\alpha)} = M_1 + N_1i,$$

$$M_1 = \frac{\text{ber}_1\alpha \text{ber}_0\alpha + \text{bei}_1\alpha \text{bei}_0\alpha}{\text{ber}_0^2\alpha + \text{bei}_0^2\alpha}, \quad N_1 = \frac{-\text{ber}_1\alpha \text{bei}_0\alpha + \text{ber}_0\alpha \text{bei}_1\alpha}{\text{ber}_0^2\alpha + \text{bei}_0^2\alpha},$$

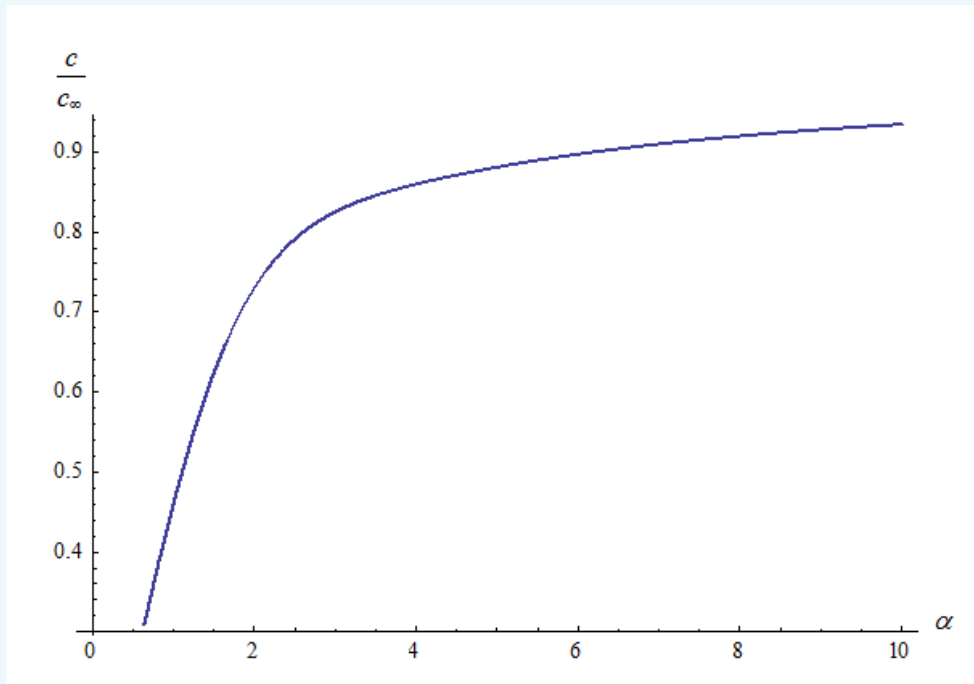
$$\frac{2}{i^{3/2}\alpha} = \frac{2}{i\sqrt{i}\alpha} = -\frac{\sqrt{2}}{\alpha}(1+i)$$

$$\begin{aligned}
 & -\frac{\sqrt{2}}{\alpha}(1+i)(M_1+N_1i) = -\frac{\sqrt{2}}{\alpha}(M_1-N_1) - \frac{\sqrt{2}}{\alpha}(M_1+N_1)i \\
 & 1 + \frac{\sqrt{2}}{\alpha}(M_1-N_1) + \frac{\sqrt{2}}{\alpha}(M_1+N_1)i, \\
 z = i\omega\rho & \left[ 1 - \frac{2J_1(i^{3/2}\alpha)}{i^{3/2}\alpha J_0(i^{3/2}\alpha)} \right]^{-1} = i\omega\rho \left[ \frac{1}{\left(1 + \frac{\sqrt{2}}{\alpha}(M_1-N_1)\right) + \left(\frac{\sqrt{2}}{\alpha}(M_1+N_1)i\right)} \right] = \\
 & = i\omega\rho \left[ \frac{1 + \frac{\sqrt{2}}{\alpha}(M_1-N_1) - \frac{\sqrt{2}}{\alpha}(M_1+N_1)i}{\left(1 + \frac{\sqrt{2}}{\alpha}(M_1-N_1)\right)^2 + \left(\frac{\sqrt{2}}{\alpha}(M_1+N_1)\right)^2} \right], \\
 M_2 & = \frac{1 + \frac{\sqrt{2}}{\alpha}(M_1-N_1)}{\left(1 + \frac{\sqrt{2}}{\alpha}(M_1-N_1)\right)^2 + \left(\frac{\sqrt{2}}{\alpha}(M_1+N_1)\right)^2}, \\
 N_2 & = \frac{-\frac{\sqrt{2}}{\alpha}(M_1+N_1)}{\left(1 + \frac{\sqrt{2}}{\alpha}(M_1-N_1)\right)^2 + \left(\frac{\sqrt{2}}{\alpha}(M_1+N_1)\right)^2}. \\
 z & = i\omega\rho(M_2 + N_2i),
 \end{aligned}$$

Тогда

$$\sqrt{\frac{i\omega z}{a}}L = i\omega\sqrt{\frac{\rho}{a}}L(M_2 + N_2i)^{\frac{1}{2}} = \pm i\omega\sqrt{\frac{\rho}{a}}L\sqrt{M_2^2 + N_2^2} \left( \cos\frac{\varphi}{2} + i\sin\frac{\varphi}{2} \right).$$

Здесь  $\chi$ , как ранее упоминалось, коэффициент, характеризующий затухание колебаний, а  $\frac{1}{\beta}$  – характеризующая безразмерная скорость распространения пульсовой волны. Если обозначить скорость распространения пульсовой волны через  $c$ , то  $\frac{c}{c_\infty} = \frac{\omega L}{c_\infty \beta}$ , где  $c_\infty = \sqrt{\frac{Eh}{2\rho R}}$  – формула Моэнса-Кортевега;  $E$  – модуль упругости;  $h$  – толщина стенки;  $\rho$  – плотность жидкости;  $R$  – радиус трубы,  $L$  – длина трубы.

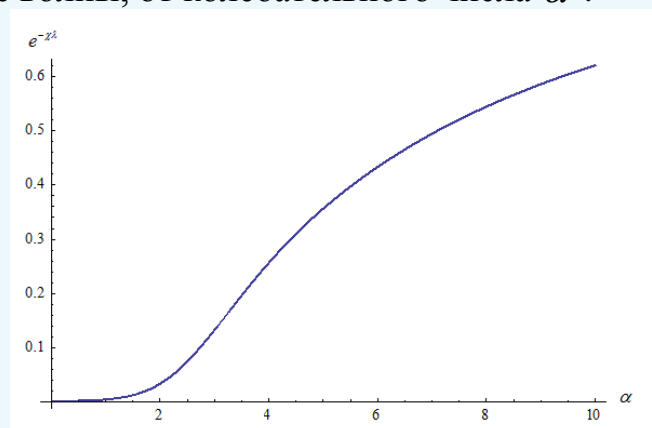


**Рис. 1. Зависимость безразмерной величины фазовой скорости от колебательного числа  $\alpha$**

На основании полученных формул проведем анализ скорости распространения пульсовой волны и затухания волны в зависимости от колебательного числа Рейнольдса .

На рис. 1. показана зависимость безразмерной величины пульсовой волны давления от колебательного числа  $\alpha$  . Выявлено, что скорость распространения пульсовой волны давления возрастает с увеличением модуля упругости окружающей ткани и ростом длины волн. Здесь также скорость пульсовой волны сравнена со скоростью Моэнса-Кортевега  $c_\infty$  , и выявлены существенные отличия между ними при меньших значениях колебательного параметра Уомерсли, при больших значениях которого существенные различия не наблюдаются.

На рис. 2. показана зависимость обратной величины затухания, отнесенной к длине волны, от колебательного числа  $\alpha$  .



**Рис. 2. Зависимость обратной величины затухания, отнесенной к длине волны, от колебательного число  $\alpha$**



Результаты показывают, что затухания волны при меньших значениях колебательного параметра Уомерсли, практически равняется нулю, а при больших значениях его, асимптотически приближается к единицу.

#### 4. Заключение

Исследована зависимость безразмерной величины пульсовой волны давления от колебательного числа  $\alpha$ . Выявлено, что скорость распространения пульсовой волны давления возрастает с увеличением модуля упругости окружающей ткани и ростом длины волн. Сравнена скорость пульсовой волны со скоростью Мознса-Кортевега  $C_\infty$ , и выявлены существенные отличия между ними происходит при меньших значениях колебательного параметра Уомерсли, при больших значениях которого существенные различия не наблюдаются. Также исследована зависимость обратной величины затухания, отнесённой к длине волны, от колебательного числа  $\alpha$ , показаны, что затухания волны при меньших значениях колебательного параметра Уомерсли, практически равняется нулю, а при больших значениях его, асимптотически приближается к единицу.

Приведенная упрощенная модель пригодна для определения скорости распространения пульсовой волны и затухания импульсов. Однако она не приемлема для определения гидравлического сопротивления в упругой трубе,

так как в этом случае импеданс  $\left(-\frac{\partial p}{\partial x}\right)/Q$  не зависит от коэффициента упругости стенки. Для того, чтобы определить гидравлического сопротивление в упругой трубе, необходимо решать задачу в двумерной постановке, то есть с учетом ортотропности деформации стенки, используя линеаризованных уравнений Навье-Стокса для течения вязкой жидкости.

#### 5. Используемые литературы

1. Наврузов К. Гидродинамика пульсирующих течений в трубопроводах. Ташкент Фан. 1986, с.112
2. Файзуллаев Д.Ф., Наврузов К. Гидродинамика пульсирующих потоков. Ташкент Фан. 1986, с.192
3. Наврузов К.Н., Абдукаримов Ф.Б. Гидродинамика пульсирующих течений крови. Германия, «Lap-Lambert», 2015, 209 с.
4. Слезкин Н.А. Динамика вязкой несжимаемой жидкости. – М.: Гостехиздат, 1956. – 520 с.
5. Лойцянский Л.Г. Механика жидкости и газа. – М.: Наука, 1973. – 877 с.
6. Громека И.С. О скорости распространения волнообразного движения жидкости в упругих трубах. Собр. соч. – М., 1952. – С. 172-183.
7. Наврузов К.Н. Импедансный метод определения гидравлического сопротивления в артериальных сосудах // «Илм сарчашмалари», УрДУ, 2016, №7, с. 20-23.
8. Наврузов К., Ражабов С.Х., Шукуров З.К, Импедансный метод определения гидравлического сопротивления в крупных артериальных сосудах с



проницаемыми стенками // Узб. журн. «Проблемы механики». 2017, №3-4. – С. 28-32.

9. Navruzov K.N., Rajabov S.X., Shukurov Z.K., Begjanov A., Babajonova Y. On the reduction of the resistance in the central arterial vessel // Asian Journal of Research. - №12(12), 2017. – P. 30-31.

10. Abdikarimov F.B., Navruzov K.N., Razhabov S.X., Shukurov Z.K. Impedant method for determining the reduction of hydraulic resistance in large arterial vessels with permeable walls // Journal of Applied Biotechnology & Bioengineering. 2018; 5(2): 79-82.

11. Navruzov K., Begjanov A., Sh. Method for determining hydraulic resistance during fluid flow in pipes // Electronic journal of actual problems of modern science, education and training 2019 II.

12. Navruzov K., Kujatov N., Begjanov A. Stationary flow of a viscous fluid in a flat channel with permeable walls (in the example of blood circulation) // European journal of molecular & clinical medicine, ISSN 2515-8260 volume 07, issue 03, 2020.

13. Abdikarimov F.B., Navruzov K.N. Mathematical method of pulsation movement of blood in large arteries // European journal of molecular & clinical medicine, ISSN 2515-8260 volume 7, issue 8, 2020. P.1438-1444

14. Womersley I.R. Method for the calculation of velocity rate of flow and viscous drag in arteries when the pressure gradient is known. I.: *Physiol*, 1955, 127, N 3, p. 553-563.

15. Womersley I.R. Oscillatory flow in arteries: the constrained elastic tube as a model of arterial flow and pulse transmission. *Phys. Med. Biol.*, 1957, 2, N 2, p. 178-187.

16. Womersley I.R. Oscillatory flow in arteries 11. The reflection of the pulse wave at junctions and rigid inserts in the arterial system. *Phys. Med. Biol.*, 1958, 2, n 4, p. 313-323.

17. Womersley I.R. Oscillatory flow in arteries 111. Flow and pulse velocity formulae for a liquid whose viscosity varies with frequency. *Phys. Med. Biol.*, 1958, 2, N 4, p. 374-382.